тверждают корректность методики проектирования, правильность выполненных расчётов и возможность экспериментальной отработки прибора.

### СПИСОК ЛИТЕРАТУРЫ

- 1. Поскачей А.А. Оптико-электронные системы измерения температуры [Текст] / А.А. Поскачей, Е.П. Чубаров. 2-е изд., перераб. и доп. М.: Энергоатомиздат, 1988. 248 с.: ил.
- 2. Якушенков Ю.Г. Теория и расчёт оптикоэлектронных приборов: Учебник для студентов вузов [Текст] / Ю.Г. Якушенков. — 4-е изд., перераб. и доп. — М.: Логос, 1999. — 480 с.: ил.
- Разработка устройства для обнаружения и подавления взрывов газа метана и угольной пыли на начальной стадии при помощи пирометрического датчика [Текст] / Е.В. Сыпин [и др.] // Вестник КузГТУ. – 2005. – №3. – с.59–65.
- Сыпин, Е.В. Оптико-электронный прибор обнаружения начальной стадии развития взрыва в газодисперсных системах [Текст]: дис. канд. тех. наук: 05.11.13: защищена 28.05.2007: утв. 14.12.2007 / Сыпин Евгений Викторович. Барнаул: 2007. 144 с.
   Тупикина, Н.Ю. Способы повышения досто-
- Тупикина, Н.Ю. Способы повышения достоверности принятия решения оптикоэлектронным прибором обнаружения очага возгорания на ранней стадии [Текст] /
  Н.Ю. Тупикина, Е.С.Повернов, Д.В. Герасимов, Е.В. Сыпин // Современные техника и технологии: сборник трудов XVII Международной научно-практической конференции студентов, аспирантов и молодых ученых. В 3 т. Т. 3 /
  Томский политехнический университет. Томск: Изд-во Томского политехнического университета, 2011. С. 266-267.
- Tupikina, N.Y. The Optical System for the Threechannel Pyrometric Device of Two Spectral Rati-

- os [Tekct] / N.Y.Tupikina, E.S. Povernov, E.V. Sypin // International conference and seminar on micro/nanotechnologies and electron devices EDM`2011: Conference proceedings. Novosibirsk: NSTU, 2011. P.354-361.
- Программа расчёта выходных сигналов различных фотоприёмников пирометра двойного спектрального отношения с учётом влияния оптических помех / Тупикина Н.Ю., Павлов А.Н., Герасимов Д.В., Сыпин Е.В. // Свидетельство РФ об официальной регистрации программ для ЭВМ №2011613735, 2011.
- 8. Гуторов М.М. Основы светотехники и источники света: Учеб. пособие для вузов [Текст] / М.М. Гуторов. – М.: Энергоатомиздат, 1983. – 384 с.
- Фотооптик-фильтры [Электронный ресурс] // Веб-узел ООО «Фотооптик-фильтры». – Режим доступа: http://www.photooptic-filters.com/
- Atmel Corporation Atmel AVR 8- and 32-bit Microcontrollers megaAVR [Электронный ресурс] // Веб-узел Atmel Corporation. 2011. Режим доступа: http://www.atmel.com/dyn/products/product\_card.asp?part\_id=2004.
- Аксененко М.Д. Приемники оптического излучения [Текст]: справочник / М.Д. Аксененко, М.Л. Бараночников. М.: Радио и связь, 1987. 296с.: ил.

Инженер ООО «Полистрим» Н.Ю. Тупикина; к.т.н., заместитель директора по научной работе ООО «Полистрим» Е.В. Сыпин; научный сотрудник ООО «МИП «Политех» Е.С. Повернов; инженер ООО «Полистрим» М.А. Альгин; инженер ООО «Полистрим» М.Н. Горбенко — Россия, 659305, Алтайский край, г. Бийск, ул. Трофимова, 27, тел. (3854) 432450, e-mail sev@bti.secna.ru

УДК 621.755-251

# АВТОМАТИЗИРОВАННАЯ УСТАНОВКА ДЛЯ СТАТИЧЕСКОЙ БАЛАНСИРОВКИ УЗЛОВ ПРИБОРОВ

А.Н. Гормаков, И.А. Плотников

Рассматривается установка для статической балансировки узлов приборов. Приводится структурная схема системы для автоматического измерения момента статической неуравновешенности. В результате динамического анализа определены параметры элементов системы измерения, обеспечивающие требуемую чувствительность, точность и быстродействие.

**Ключевые слова:** статическая балансировка, автоматизированная установка, подвижные узлы приборов.

### Введение

Статической балансировке подвергаются медленно вращающиеся или колеблющиеся подвижные части приборов, а также относительно быстро вращающиеся детали типа тонких дисков. Статическая неуравновешен-

ность – неуравновешенность, при которой ось ротора и его главная центральная ось инерции параллельны. При этом центр масс подвижного узла смещен относительно оси вращения на некоторую величину, в результате чего возникает момент статической не-

### РАЗДЕЛ IV. ПРИБОРЫ И МЕТОДЫ КОНТРОЛЯ

уравновешенности. Балансировка изделия осуществляется в два этапа: определение величины и фазы дисбаланса; корректировка масс изделия путем добавления массы в «легком месте» или удаления массы в «тяжелом месте». При статическом уравновешивании добиваются того, чтобы узел с горизонтально расположенной осью оставался в состоянии безразличного равновесия. В измерительных приборах момент статической неуравновешенности приводит к снижению чувствительности и точности. Поэтому операция статической балансировки является обязательной регулировочной операцией при сборке приборов, содержащих узлы, вращающиеся с малыми скоростями.

Статическая балансировка узлов приборов чаще всего осуществляется в режиме моментных весов и электрической пружины.

Недостатком метода балансировки в режиме моментных весов является невысокая производительность. Для балансировки изделий в этом режиме используются ножевые опоры (рисунок 1), опоры на шарикоподшипниках, газостатические, магнитные и другие подвесы.

Точность определения значения и угла корректирующей массы ограничивается погрешностями, возникающими при статической балансировке. К ним относятся: отклонение формы несущих и опорных поверхностей балансируемого узла и балансировочного станка; деформация поверхностей; трение между этими поверхностями. Обязательным условием балансировки на ножевой опоре является расположение кромок ножей 4 в плоскости горизонта.

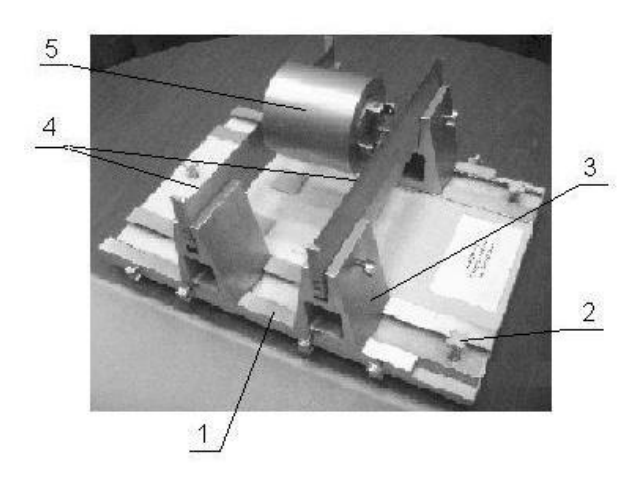


Рисунок 1 - Ножевая опора для статической балансировки подвижных узлов приборов:

1- основание, 2 — регулируемая опора, 3 стойка, 4 — ножи, 5 — балансируемый узел Установка для статического уравновешивания в режиме электрической пружины работает по принципу силовой компенсации момента. Момент статической неуравновешенности изделия компенсируется моментом, создаваемым моментным двигателем установки. Достоинством данного метода является высокая точность и возможность автоматизации процесса.

Принципиальная схема установки для автоматизированной статической балансировки узлов приборов

Предлагаемое устройство [1, 3] (рисунок 2) содержит основание – 1 с регулируемыми опорами – 2, на котором установлены две стойки – 3 и 4 с упругими опорами. Опора содержит два стакана - 8 и 9, связанных между собой упругими лентами - 10, 11, 12, смещенными одна относительно другой вдоль опоры равномерно ОСИ И расположенными плоскости, перпендикулярной к оси опоры. Одна из лент, например, - 10 снабжена устройством нагружения - 23.

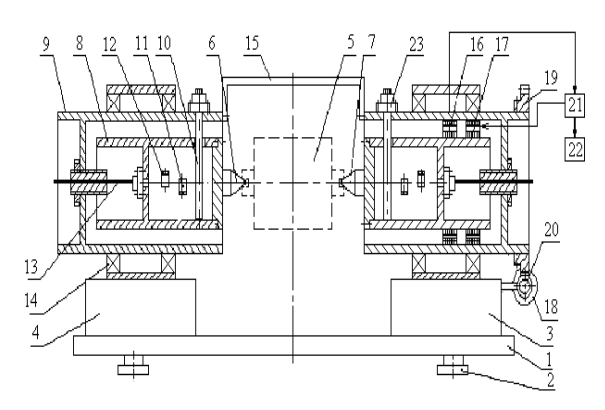


Рисунок 2 - Принципиальная схема установки для статической балансировки узлов приборов

Стойки имеют возможность перемещения по основанию вдоль оси, что необходимо при балансировке изделий различных габаритов. Балансируемое изделие — 5 устанавливается в центры — 6 и 7, закрепленные на внутренних стаканах — 8 опор. Днища стаканов связаны между собой регулируемым по длине торсионом — 13. Наружные стаканы опор — 9 установлены в корпусах стоек — 3 и 4 посредством подшипников 14 и жестко связаны между собой рамкой — 15. В упругой опоре установлены бесконтактный датчик угла — 16 и моментный двигатель — 17, роторы, которых закреплены на внутреннем стакане опоры, а статоры — на наружном. На наружном стакане

ПОЛЗУНОВСКИЙ ВЕСТНИК № 3/2, 2012

9 правой опоры установлено червячное колесо 19, а червяк 20 и двигатель 18 установлены в корпусе, закрепленном на правой стойке 3 установки. В систему измерения момента статической неуравновешенности входит усилитель-преобразователь — 21 и пульт управления — 22 с дисплеем. Величина тока, протекающего по обмотке датчика момента, пропорциональна моменту статической неуравновешенности. Информация о величине момента статической неуравновешенности выводится на дисплей.

Общий вид установки приведен на рисунке 3.



Рисунок 3 – Общий вид установки

Устройство работает следующим образом. Основание - 1 устанавливают в плоскость горизонта с помощью уровня и регулируемых опор - 2. Посредством устройства предварительного натяжения - 23 лент - 10, 11, 12 и регулировкой длины осевого торсиона - 13 добиваются квазинулевой жесткости опоры. Балансируемое изделие - 5 устанавливают в центрах - 6 и 7, определяют величину момента статической неуравновешенности (рисунок 4, а). Совмещают центр масс с плоскостью YOZ подвеса путем корректировки масс вдоль оси ОХ. Далее двигателем - 18 через самотормозящую передачу - 20, 19 поворачивают наружный стакан опоры - 9, а вместе с ним и балансируемое изделие - 5 на 90° (рисунок 4, б).

В этом положении осуществляют измерение момента статической неуравновешенности и корректируют массу вдоль оси ОУ. Таким образом, за два приема центр масс изделия совмещается с осью вращения ОZ изделия. При необходимости операции можно повторить.

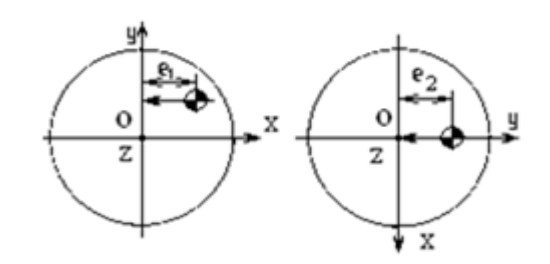


Рисунок 4 — Совмещение центра масс балансируемого изделия: а) с плоскостью YOZ; б) с осью вращения OZ

## Обоснование выбора параметров конструкции и системы силовой компенсации установки

Выбор конструктивных параметров опоры осуществляется из условия обеспечения квазинулевой жесткости С при заданном интервале масс балансируемых изделий, прочности упругих элементов и стабильности ее механических характеристик [4, 5].

Структурная схема системы силовой компенсации [2] устройства приведена на рисунке 5.

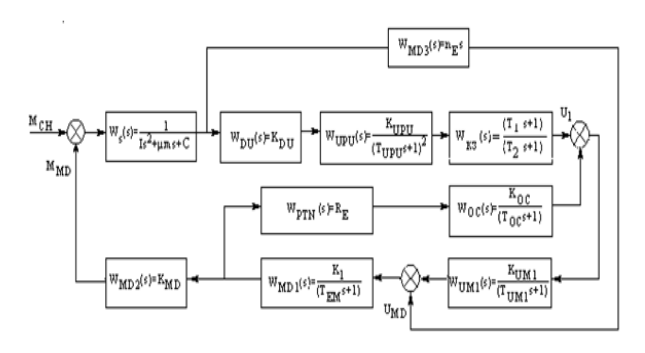


Рисунок 5 - Структурная схема системы измерения моментов статической неуравновешенности

Передаточные функции элементов системы измерения:  $W_{UM1}(S) = \frac{K_{UM1}}{T_{UM1}S+1}$  — усилитель мощности;  $W_{MD1}(S) = \frac{K_1}{T_{EM}S+1}$ ,  $W_{MD2}(S) = K_{MD}$ ,  $W_{MD3}(S) = 1$ — моментный двигатель;  $W_{OC}(S) = \frac{K_{OC}}{T_{OC}S+1}$  — цепь обратной связи;  $W_{PTN}(S) = R_E$  — преобразователь токнапряжение;  $W_S(S) = \frac{1}{IS^2 + \mu mS + C}$  — подвижный узел станка;  $W_{DU}(S) = K_{DU}$  — датчик угла;

### РАЗДЕЛ IV. ПРИБОРЫ И МЕТОДЫ КОНТРОЛЯ

$$W_{UPU}(S) = \frac{K_{UPU}}{(T_{UPU}S+1)^2}$$
 — устройство

предварительного усиления.

Для обеспечения устойчивости и требуемых показателей качества частотных характеристик системы в измерительную цепь введены последовательное корректирующее звено, передаточная функция которого имеет вид

$$W_{K3}(S) = \frac{T_1 S + 1}{T_2 S + 1}$$

и локальная обратная связь по току двигателя.

Динамический анализ системы измерения станка осуществлен при помощи программного пакета MathLab. В результате анализа получены переходный процесс системы на ступенчатое воздействие (рисунок 6), амплитудно-частотная и фазочастотная характеристики замкнутой системы (рисунок 7) при следующих значениях коэффициентов передачи и постоянных времени:  $K_{UM1}$  = 50,  $K_1$  = 0,05 A/B,  $K_{MD}$  =  $1H \cdot M/A$  ,  $K_{OC} = 5$ ,  $K_{DU} = 200$  B/рад,  $K_{UPU} = 10$ ,  $T_{\text{UM1}} = 5.10-6 \text{ c}, T_{\text{EM}} = 0.003 \text{ c}, T_{\text{OC}} = 1.10^{-4} \text{ c},$  $T_{\text{UPU}} = 9.10^{-5}$ с, а также  $R_{\text{E}} = 0.8$  Ом,  $\mu =$  $0.01H \cdot M \cdot c$ , I =  $0.8 \text{ K} \cdot M2$ ,  $T_1 = 0.095 \text{ c}$ ,  $T_2 =$ 0.0045 с,  $C \cong 1$  Н·м/рад.

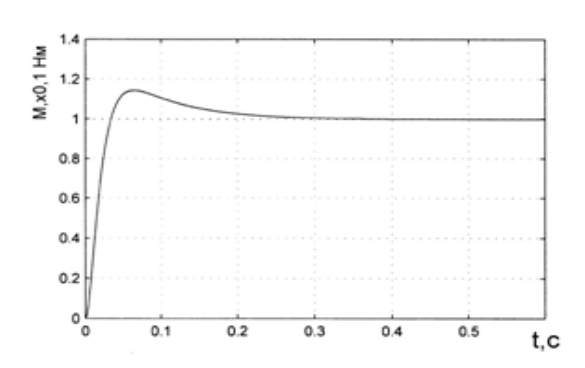


Рисунок 6 - Переходный процесс системы на ступенчатое воздействие

### Вывод

Конструкция рассматриваемой установки обеспечивает автоматизацию процесса статической балансировки изделий массой до 20 кг и габаритами не более  $400\times400\times400$  мм. Система измерения момента статической неуравновешенности устойчива, обеспечивает требуемое быстродействие и порог чувствительности, равный  $0.3\cdot10^{-4}$  H·м.

Благодаря возможности перенастройки установки на объекты балансировки в широком диапазоне массогабаритных характери-

стик, её можно применять как в условиях серийного, так и единичного производства.

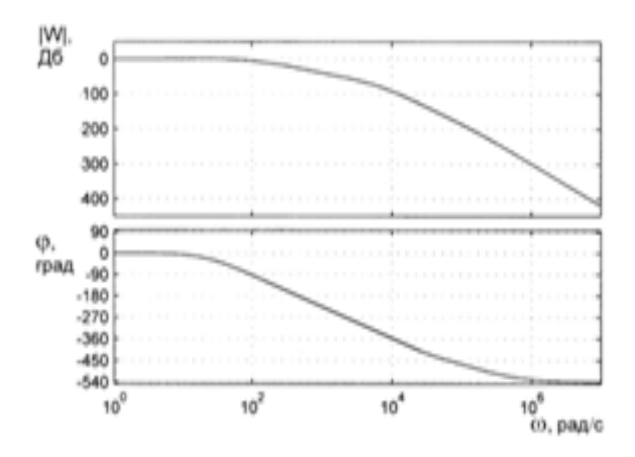


Рисунок 7 - Частотные характеристи замкнутой системы

#### СПИСОК ЛИТЕРАТУРЫ

- Gormakov A. Machine tool for static balance of active device and machine. [Tekct] / A. Gormakov / Proc. 8th Korea-Russia Intern. Symp. on Science and Technology KORUS'2004, June 26 – July 3, 2004. – Tomsk, Russia, 2004. – V. 3. – P. 20–22.
- Skorykh V.J., Gormakov A.N., Plotnikov J.A. Torcuemeter on sites of girodines. [Tekct] / A.N Gormakov, V.J. Skorykh/ Proc. 5th Korea-Russia Intern. Symp. on Science and Technology (KORUS'2001), June 26 July 3, 2001. Tomsk, TPU, Russia, 2001. V. 1. P. 42–45.
- А.с. 1825997 РФ. МКИ G01М 1/30. Устройство для статической балансировки изделий [Текст] / А.Н. Гормаков, Ю.М. Камашев, В.Я. Скорых. Опубл. 07.07.93, Бюл. № 25. – 5 с.
- 4. Бабаева Н.Ф., Ерофеев В.М., Сивоконенко И.М. и др. Расчет и проектирование элементов гироскопических устройств. [Текст] /Н.Ф. Бабаева, В.М.Ерофеев, И.М. Сивоконенко/ Л.: Машиностроение, 1967. 480 с.
- Стенд для измерения моментов вокруг двух осей СИМ-2 / Камашев Ю.М.; Томск. политехн. ин-т. – Томск, 1983. – Деп. ВИНИТИ, № 02840007147. Маршр. карта 307.

к.т.н., доцент **А.Н. Гормаков** – Томский политехнический университет, институт неразрушающего контроля, кафедра точного приборостроения, gormakov@tpu.ru; 8 (3822)563-839; к.т.н., доцент **И.А. Плотников** – Томский политехнический университет, ЭНИН, кафедра электроснабжения промышленных предприятий, E-mail: igorplt@tpu.ru, 8(3822)564-210.